

УДК 621.373.826

## ФЛУКТУАЦИИ ИМПУЛЬСНОГО ЛАЗЕРНОГО ИЗЛУЧЕНИЯ ПРИ ТЕПЛОВОМ САМОВОЗДЕЙСТВИИ В ТУРБУЛЕНТНОЙ АТМОСФЕРЕ

*B. V. Воробьев, T. G. Красильникова, N. C. Тихонова*

В приближении метода плавных возмущений рассчитаны спектры и структурные функции флюктуаций уровня и фазы лазерного излучения при его тепловом самовоздействии в турбулентной атмосфере. Изучена динамика спектров в широком интервале изменения пространственных частот. Исследованы области применимости геометрооптической и дифракционной асимптотик для расчетов флюктуаций излучения при самовоздействии.

Изменение флюктуаций импульсного излучения при тепловом самовоздействии изучалось ранее в работах [<sup>1-6</sup>]. Интерес к этому вопросу вызван практической потребностью учета совместного влияния турбулентных неоднородностей и неоднородностей, возникающих при нагреве среды излучением, на его характеристики при распространении в атмосфере. Достаточно подробно как теоретически, так и экспериментально к настоящему времени исследовано изменение флюктуаций при тепловом самовоздействии на коротких лабораторных трассах [<sup>1, 4-6</sup>]. Расчеты флюктуаций при этом можно проводить в приближении геометрической оптики. Что касается влияния дифракции излучения на неоднородностях, которое существенно на атмосферных трассах, к настоящему времени имеются лишь качественные оценки этого влияния, основанные на асимптотических формулах [<sup>2, 5, 6</sup>], применимость которых в достаточной мере не исследована. Аналитически эту задачу решить не удается. В работе [<sup>3</sup>] было проведено численное исследование самовоздействия пучков в турбулентной среде методом статистических испытаний. Подробно исследованы флюктуации в пучках, радиусы которых  $a$  сравнимы с минимальными масштабами неоднородностей  $l_0$  ( $a/l_0 = -2 \div 3$ ). Большой объем вычислений, обусловленный многократным решением стохастического уравнения с четырьмя независимыми переменными, не позволил, однако, провести исследования самовоздействия широких пучков ( $a/l_0 \gg 1$ ), когда, согласно оценкам, должны проявиться эффекты усиления флюктуаций. В настоящей работе для расчета изменения флюктуаций используется численный метод решения уравнений плавных возмущений. Предположение о статистической однородности флюктуаций позволяет свести расчеты к нахождению решения детерминированного уравнения двух независимых переменных.

В предположениях о том, что 1) длительность лазерного импульса  $\tau_{\text{имп}}$  удовлетворяет соотношению  $\tau_{\text{зв}} \ll \tau_{\text{имп}} \ll \tau_{\text{турб}}$ , где  $\tau_{\text{зв}}$  — время пробега звука через поперечное сечение лазерного пучка,  $\tau_{\text{турб}}$  — характеристическое время турбулентных пульсаций; 2) ширина лазерного пучка много больше размеров турбулентных неоднородностей; 3) коэффициент ослабления энергии излучения из-за поглощения и рассеяния  $\alpha$  мал, уравнения для спектральных компонент флюктуаций логарифма амплитуды  $\chi$  и фазы  $\phi$  излучения имеют вид

$$\frac{\partial^2 \chi}{\partial z^2} + \frac{x^4}{4k^2} \chi + x^2 q^2 \int_0^t \chi(z, x, t') dt' = \frac{x^2}{4\varepsilon_0} \varepsilon_1(z, x); \quad (1)$$

$$\frac{\partial^2 \varphi}{\partial z^2} + \frac{x^4}{4k^2} \chi + x^2 q^2 \int_0^t \varphi(z, x, t') dt' = \frac{k}{2\epsilon_0} \frac{\partial \epsilon_T(x, x)}{\partial z}, \quad (2)$$

где  $x$  — поперечный волновой вектор возмущений,  $k$  — волновое число светового излучения в среде,  $z$  — координата, вдоль которой распространяется пучок,  $\epsilon_0$  и  $\epsilon_1$  — соответственно средняя и флюктуационная части диэлектрической проницаемости,  $q^2 = \frac{1}{2\epsilon_0} \left| \frac{\partial \epsilon}{\partial T} \right| \frac{\alpha I_0}{\rho_0 c_p}$ ,  $\alpha$  — коэффициент поглощения,  $I_0$  — плотность мощности световой волны,  $\rho_0$ ,  $c_p$  — плотность и теплоемкость среды.

Перейдем в уравнениях (1), (2) к переменной  $x=z/L$ , где  $L$  — длина трассы, и введем параметры  $x^2 L / 2k = R$ ,  $p = 2kq^2 L$ . Уравнения будут иметь вид

$$\frac{\partial^2 \chi}{\partial x^2} + R^2 \chi + Rp \int_0^x \chi dt' = \frac{kRL}{2\epsilon_0} \epsilon_1; \quad (3)$$

$$\frac{\partial^2 \varphi}{\partial x^2} + R^2 \varphi + Rp \int_0^x \varphi dt' = \frac{kL}{2\epsilon_0} \frac{\partial \epsilon_1}{\partial x}. \quad (4)$$

Решение уравнений (3), (4) можно записать в виде

$$\chi(x, x, z) = \frac{kRL}{2\epsilon_0} \int_0^x g_1(x-x', R, t) \epsilon_1(x', x) dx'; \quad (5)$$

$$\varphi(x, x, z) = \frac{kL}{2\epsilon_0} \int_0^x g_2(x-x', R, t) \epsilon_1(x', x) dx', \quad (6)$$

где функции  $g_{1,2}$  являются решениями однородного уравнения

$$\frac{\partial^2 g_{1,2}}{\partial x^2} + R^2 g_{1,2} + Rp \int_0^x g_{1,2}(x, t') dt' = 0 \quad (7)$$

с граничными условиями

$$g_1(0, R, t) = 0, \quad \partial g_1 / \partial x|_0 = 1; \quad (8)$$

$$g_2(0, R, t) = 1, \quad \partial g_2 / \partial x|_0 = 0. \quad (9)$$

Используя приближение δ-коррелированных по  $z$ , однородных и изотропных флюктуаций  $\epsilon_1(z, x)$  [7],

$$\langle \epsilon_1(z_1, x_1) \epsilon_1^*(z_2, x_2) \rangle = 2\pi \Phi_\epsilon(x) \delta(z_1 - z_2) \delta(x_1 - x_2),$$

для спектров флюктуаций величин  $\chi$  и  $\varphi$  получим выражения

$$\langle \chi(x, x_1, t) \chi^*(x, x_2, t) \rangle = F_\chi(x, x, t) \delta(x_1 - x_2),$$

$$F_\chi(x, x, t) = \frac{\pi k^2 L}{2\epsilon_0^2} u_1(x, R(x), t), \quad u_1(x, R, t) = R^2 \int_0^x g_1^2(x', R, t) dx'; \quad (10)$$

$$\langle \varphi(x, x_1, t) \varphi^*(x, x_2, t) \rangle = F_\varphi(x, x, t) \delta(x_1 - x_2),$$

$$F_\phi(x, z, t) = \frac{\pi k^3 L}{2\epsilon_0^2} \Phi_\phi(z) u_2(x, R, t), \quad u_2(x, R, t) = \int_0^x g_2^2(x', R, t) dx'. \quad (11)$$

При  $p=0$ ,  $g_1(x, R) = \sin(Rx)/R$ ,  $g_2(x) = \cos(Rx)$ ,  $u_{1,2} = (x/2)$  ( $1 \mp \sin(2Rx)/(2Rx)$ ). Выражения (10), (11) при этом совпадают с соответствующими выражениями для флюктуаций интенсивности и фазы волны в линейной турбулентной среде [7].

Рассмотрим вначале изменение спектров при малых волновых числах  $k \rightarrow 0$  (геометрическая оптика) и при больших  $R$  (дифракционная зона). В рамках применимости геометрической оптики при  $R \ll 1$  [6]

$$g_1(x, R, t) = x \sum_{n=0}^{\infty} (-1)^n (x^2 R p t)^n / [(2n+1)! n!] ; \quad (12)$$

$$g_2(x, R, t) = \sum_{n=0}^{\infty} (-1)^n (x^2 R p t)^n / [(2n)! n!] ; \quad (13)$$

$$u_1(x, R, t) = (x^3 R^2 / 3) f_\chi(x \sqrt{R p t}) ; \quad (14)$$

$$u_2(x, R, t) = x f_\phi(x \sqrt{R p t}) , \quad (15)$$

где функции  $f_\chi$ ,  $f_\phi$  являются отношениями флюктуаций в нелинейной среде к флюктуациям в линейной среде (при  $p=0$ ). Они изображены на рис. 1.

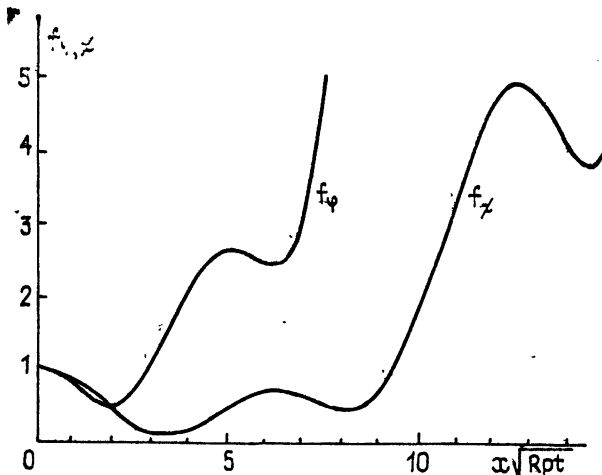


Рис. 1. Функции влияния нелинейности на спектры флюктуаций амплитуды  $f_\chi$  и фазы  $f_\phi$ , рассчитанные в приближении геометрической оптики.

В зоне дифракции  $R \gg 1$  асимптотики функций  $g_{1,2}$  можно найти используя преобразование Лапласа по времени. Для изображений функций  $g_{1,2}(s) = \int_0^\infty g_{1,2}(t) e^{-st} dt$  имеем выражения

$$g_1(x, R, s) = s^{-1} (R^2 + Rp/s)^{-1/2} \sin(x \sqrt{R^2 + Rp/s}) ; \quad (16)$$

$$g_2(x, R, s) = s^{-1} \cos(x \sqrt{R^2 + Rp/s}) . \quad (17)$$

Ограничиваюсь в разложении квадратного корня по  $R$  при  $R \rightarrow \infty$  двумя членами  $\sqrt{R^2 + Rp/s} = R + p/(2s)$ , будем иметь

$$g_1(x, R, s) = (Rs + p/2)^{-1} [\sin Rx \cos(px/2s) + \cos Rx \sin(px/2s)] ,$$

$$g_2(x, R, s) = s^{-1} [\cos Rx \cos(px/2s) - \sin Rx \sin(px/2s)].$$

При обращении преобразования Лапласа воспользуемся следующим соотношением [8]: изображению  $F(s) = s^{-1} \exp(-k/s)$  соответствует оригинал  $f(t) = J_0(2\sqrt{kt})$ , где  $J_0$  — функция Бесселя нулевого порядка. Поэтому оригиналами изображений

$$F_1(s) = s^{-1} \cos(px/2s), \quad F_2(s) = s^{-1} \sin(px/2s)$$

будут функции

$$f_1(t) = \frac{1}{2} [J_0(\sqrt{-2ipxt}) + J_0(\sqrt{2ipxt})]; \quad (18)$$

$$f_2(t) = \frac{1}{2i} [J_0(\sqrt{-2ipxt}) - J_0(\sqrt{2ipxt})]. \quad (19)$$

Кроме того, выполняются соотношения

$$F_3(s) = \cos(px/2s) - 1 = sF_1(s) - f_1(0),$$

$$F_4(s) = \sin(px/2s) = sF_2(s) - f_2(0),$$

из которых следует

$$f_3(t) = \frac{df_1}{dt}, \quad f_4(t) = \frac{df_2}{dt}. \quad (20)$$

Воспользовавшись формулами (18) — (20), для функций  $g_{1,2}$  получим выражения

$$g_2(x, R, t) = f_1(x, t) \cos Rx - f_2(x, t) \sin Rx; \quad (21)$$

$$g_1(x, R, t) = \frac{1}{R} \left\{ \sin Rx \left[ f_1(x, t) - \frac{p}{2R} \int_0^t \exp\left(-\frac{p(t-t')}{2R}\right) f_1(x, t') dt' \right] + \right. \\ \left. + \cos Rx \left[ f_2(x, t) - \frac{p}{2R} \int_0^t \exp\left(-\frac{p(t-t')}{2R}\right) f_2(x, t') dt' \right] \right\}. \quad (22)$$

При выводе выражения (22) использована теорема о свертке и учтено, что оригиналом для изображения  $F(s) = (s+p/2R)^{-1}$  является  $\exp(-pt/2R)$ . При условии  $pt/2R \ll 1$  можно пренебречь интегралами в выражении (22) и записать его в виде

$$g_1(x, R, t) = (1/R) [f_1(x, t) \sin Rx + f_2(x, t) \cos Rx]. \quad (23)$$

(Отметим, что, поскольку при  $x \rightarrow 0$   $f_1(x, t) \approx 1 - p^2 x^2 t^2 / 16$ ,  $f_2(x, t) \approx -pxt/2$ , граничное условие  $(\partial g_1 / \partial x)_0 = 1$ , которое выполняется для выражения (22) точно, для (23) выполняется только приближенно, с ошибкой порядка  $pt/2R$ .)

Расчеты функций  $u_1$ ,  $u_2$  по формулам (10), (11), (21), (23) эффективно проводить, используя разложения функций  $f_1$ ,  $f_2$  в ряды

$$f_1(\xi) = \sum_{n=0}^{\infty} (-1)^n \xi^{2n} / (2n!)^2, \quad f_2(\xi) = \sum_{n=0}^{\infty} (-1)^n \xi^{2n+1} / ((2n+1)!)^2. \quad (24)$$

Итак, в области малых ( $R \rightarrow 0$ ) и больших ( $R \rightarrow \infty$ ) волновых чисел возмущений спектры флуктуаций интенсивности  $u_1$  и фазы  $u_2$  несложно рассчитать, используя разложение функций влияния тепловой нелинейности  $f_1$ ,  $f_2$  в однократные ряды, которые быстро сходятся. При произвольных значениях волновых чисел  $R$  можно попытаться использовать для исследования влияния нелинейности на флуктуации разложения

в двукратные ряды [6]. Опыт использования таких разложений показал, что из-за медленной сходимости двукратных рядов их применение эффективно лишь в случае слабых нелинейных эффектов.

Более эффективным является в этом случае расчет функций  $g_1, g_2$  с помощью численного интегрирования уравнения (7). Используя метод Симпсона для вычисления интеграла по времени и метод Рунге—Кутта по координате  $x$  (оба эти метода имеют одинаковую точность), запишем уравнения для  $g_1$  и  $u_1$  в виде системы

$$\frac{dy_N}{dx} = y_{N+m}, \quad y_N(0) = 0, \quad y_N = g_1(N\tau),$$

$$\frac{dy_{N+m}}{dx} = -R^2 y_N - \frac{Rp\tau}{3} F_N, \quad y_{m+N}(0) = 1, \quad y_{m+N} = \frac{dg_1(N\tau)}{dx}. \quad (25)$$

$$\frac{dy_{N+2m}}{dx} = y_N^2 R^2, \quad y_{N+2m}(0) = 0, \quad y_{N+2m} = u_1,$$

$N = 0, 1, 2, \dots, M$ ,  $\tau$  — шаг интегрирования по времени. Функции  $F_N$  в этих уравнениях задаются рекуррентными соотношениями

$$F_0 = 0, \quad F_1 = (1/8)(9y_0 + 19y_1 - 5y_2 + y_3), \quad (26)$$

$$F_N = F_{N-2} + y_{N-2} + 4y_{N-1} + y_N \text{ при } N \geq 2.$$

Аналогичный вид имеет система уравнений для функций  $g_2$ ,  $u_2$ . Уравнения для  $g_2$  отличаются от (25) только начальными условиями  $y_N(0) = 1$ ,  $y_{N+m}(0) = 0$ , а уравнение для  $u_2$  будет

$$\frac{du_{2,N}}{dx} = y_N^2, \quad u_{2,N}(0) = 0. \quad (27)$$

Вычисления проводились с шагом по времени  $\tau = 3/p$  (для контроля точности также с шагом  $\tau = 6/p$ ) и с шагом по координате  $x$ , равным  $h = (2k + 10pt/3)^{-1}$  ( $k = 16R/\pi$ , значения параметров  $R$  выбирались кратными числу  $\pi/16$ ). Результаты расчётов функций  $u_1$ ,  $u_2$  представлены на рис. 2—5. С увеличением параметра  $pt$ , характеризующего влияние нелинейности, происходит подавление крупномасштабных флюктуаций и усиление мелкомасштабных. Область значений величины  $R$  (пропорциональной квадрату волнового числа  $\kappa$ ), в которой флюктуации ослабляются, уменьшается с ростом нелинейности, и, напротив, область, где происходит усиление, расширяется в сторону малых значений  $R$ . В предельном случае больших  $R$  усиление флюктуаций происходит равномерно по спектру, как это предсказывает дифракционная асимптотика. Выход на асимптотику замедляется с увеличением нелинейности. Анализ численных результатов показывает, что для  $R$  в диапазоне  $8\pi \leq R \leq 32\pi$  максимальные, минимальные и средние значения функций  $u_{1,2}$  с точностью, не меньшей 1%, можно рассчитывать по приближенным формулам

$$u_{1,2}^{\max} = u_d \left( 1 - \frac{R_{1,2}^{\max}}{R} \right), \quad u_{1,2}^{\min} = u_d \left( 1 - \frac{R_{1,2}^{\min}}{R} \right), \quad \bar{u}_{1,2} = u_d \left( 1 - \frac{\bar{R}_{1,2}}{R} \right), \quad (28)$$

где  $u_d$  — предельные стационарные значения, даваемые дифракционной асимптотикой, одинаковые для амплитудных и фазовых флюктуаций,  $R_{1,2}$  — характерные интервалы выхода на асимптотику. Значения этих параметров для расчетных режимов приведены в табл. 1.

На рис. 4, 5 приведены результаты расчетов спектров с учетом дифракции и по формулам геометрической оптики. Как видно из этих данных, приближение геометрической оптики можно использовать для рас-

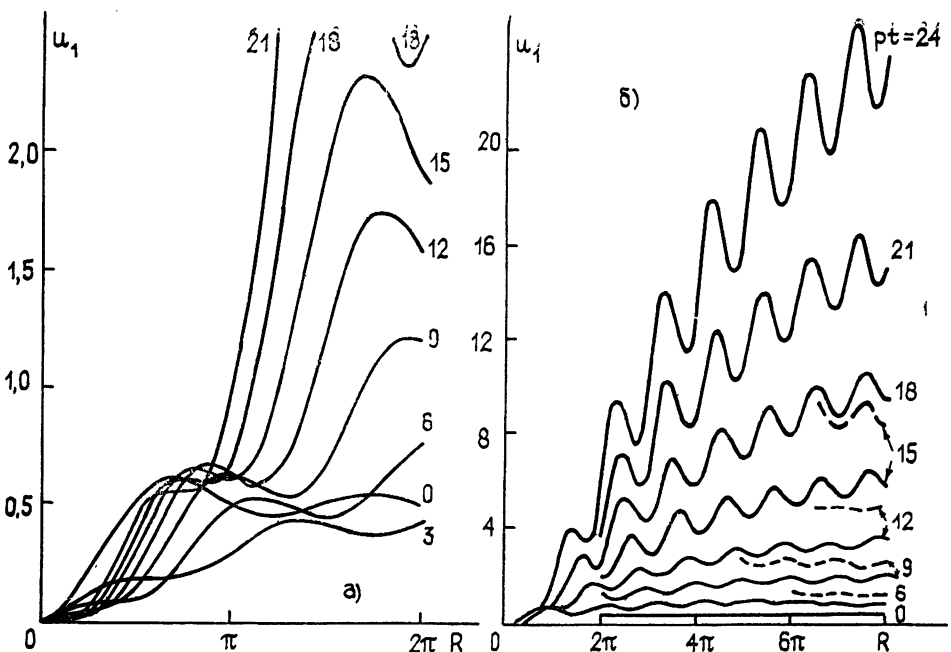


Рис. 2.

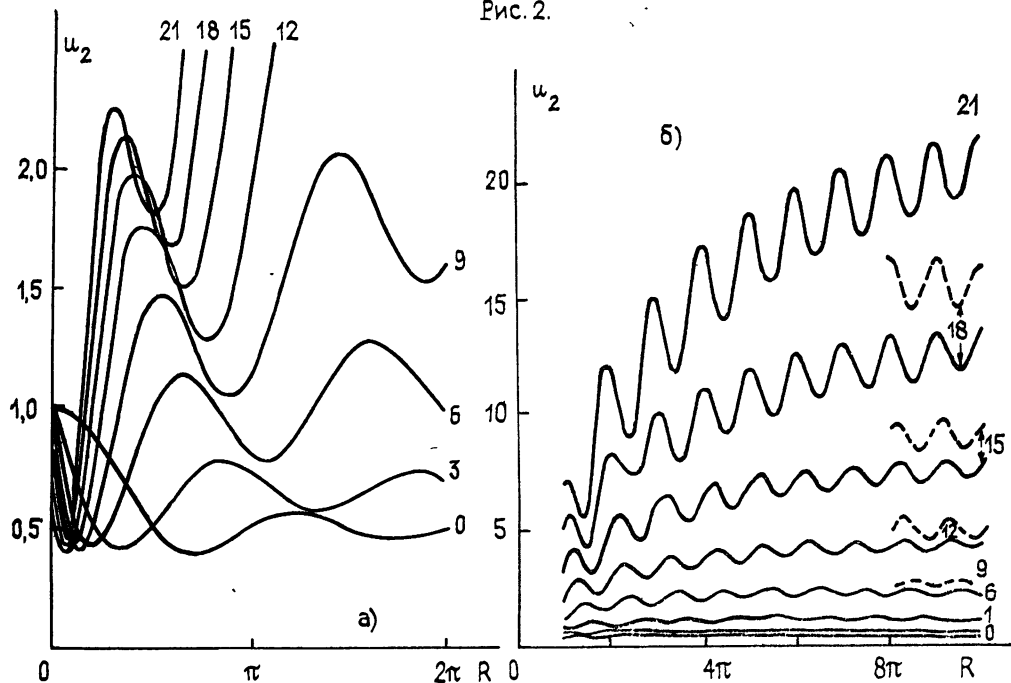


Рис. 3.

Рис. 2. Функции влияния нелинейности на спектр флюктуаций логарифма амплитуды, полученные в результате численного интегрирования уравнений (7) (сплошные линии) и по формулам для дифракционной асимптотики (штриховые линии). Цифры у кривых — значения параметра  $pt$ .

Рис. 3. Функции влияния нелинейности на спектр флюктуаций фазы. Обозначения как на рис. 2.

четов флюктуаций только в области небольших волновых чисел, когда величина  $R \leq \pi/4$ . Отметим, что с увеличением нелинейности область

Таблица 1

Значения параметров выхода на дифракционную асимптотику

$pt$	3	6	9	12	15	18
$u_d$	0,693	1,366	2,638	4,982	8,998	15,655
$R_1^{\max}$	2,08	3,41	4,76	6,05	7,24	8,53
$R_1^{\min}$	3,52	5,55	7,24	8,88	10,30	11,73
$\bar{R}_1 = \frac{R_1^{\max} + R_1^{\min}}{2}$	2,80	4,48	6,00	7,47	8,77	10,13
$R_2^{\max}$	-0,31	0,39	1,13	2,16	3,13	4,24
$R_2^{\min}$	1,19	2,39	3,72	5,16	6,41	7,69
$\bar{R}_2 = \frac{R_2^{\max} + R_2^{\min}}{2}$	0,44	1,39	2,43	3,66	4,77	5,97

применимости геометрической оптики не расширяется. Этот вывод подтверждается и расчетами регулярной тепловой дефокусировки [6], но не совпадает с выводом, который следует из анализа дефокусировки в безаберрационном приближении.

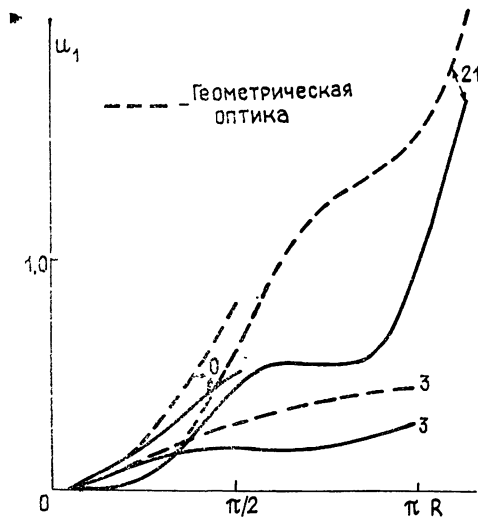


Рис. 4.

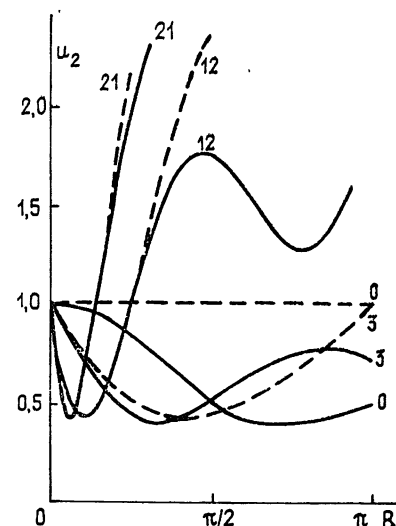


Рис. 5.

Рис. 4. Функции  $u_1$ , рассчитанные с помощью численного интегрирования уравнения (7) (сплошные линии) и в геометрооптическом приближении (штриховые линии). Рис. 5. Функции  $u_2$ . Обозначения как на рис. 4. (Числа у кривых, значения величины  $pt$ .)

На рис. 6—8 представлены результаты расчета с использованием спектров  $u_{1,2}$  и спектра флюктуаций  $\varepsilon_1$  в виде

$$\Phi_\varepsilon = A \kappa^{-11/3}, \quad A = 0,033 C_\varepsilon^2 \quad (29)$$

(где  $C_\varepsilon^2$  — структурная постоянная флюктуаций  $\varepsilon_1$ ), функций

$$\sigma^2 = \int_0^\infty R^{-11/6} u_1(R) dR; \quad (30)$$

$$D_{1,2}(v) = \int_0^\infty R^{-11/6} u_{1,2}(R) [1 - J_0(v\sqrt{R})] dR; \quad (31)$$

$$D(v) = D_1(v) + D_2(v), \quad (32)$$

пропорциональных соответственно дисперсии флюктуаций логарифма амплитуды  $\sigma_\chi^2 = B\sigma^2$ ,  $B = \pi^2 \cdot 2^{-11/6} A k^{7/6} L^{11/6}$ , структурной функции флюктуаций логарифма амплитуды  $D_\chi(\rho) = 2BD_1(\rho\sqrt{2k/L})$ , фазы  $D_\phi(\rho) = 2BD_2(\rho\sqrt{2k/L})$  и функции  $D(v)$ , которая определяет радиус когерентности излучения  $\rho_K$ , согласно соотношению

$$2BD(\rho_K\sqrt{2k/L}) = D_\chi(\rho_K) + D_\phi(\rho_K) = 1. \quad (33)$$

При спектре флюктуаций  $\varepsilon_1$  вида (29) основной вклад во флюктуации фазы и интенсивности излучения вносят крупномасштабные неоднородности.

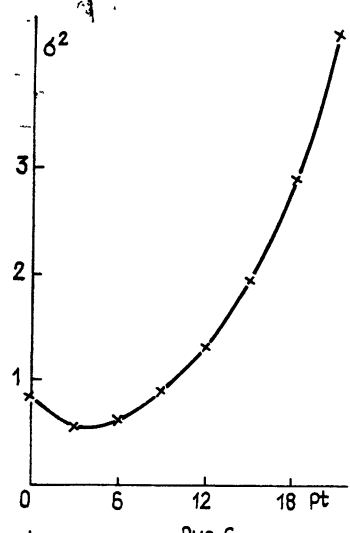


Рис. 6

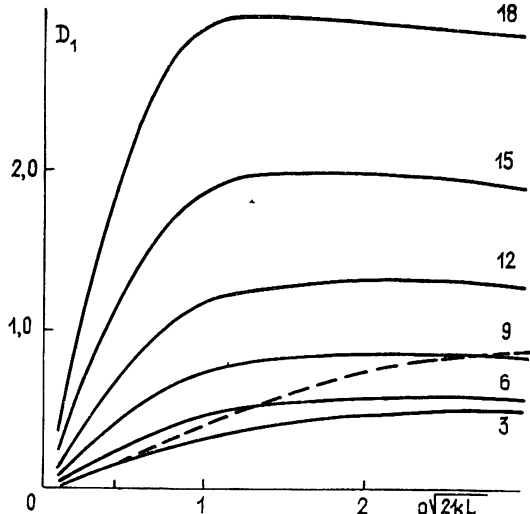


Рис. 7

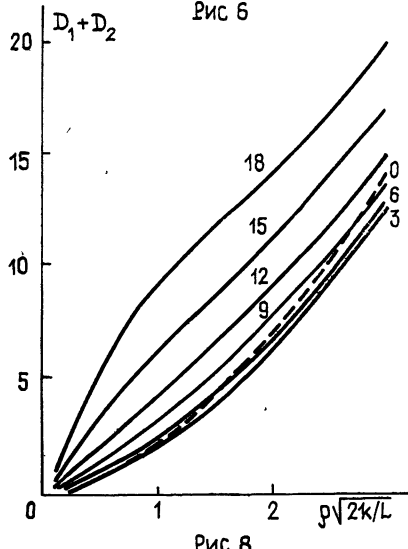


Рис. 8.

Рис. 6. Дисперсия флюктуаций логарифма амплитуды как функция времени.

Рис. 7. Структурные функции флюктуаций логарифма амплитуды  $D_1$ .

Рис. 8. Структурная функция  $D = D_1 + D_2$ , определяющая радиус когерентности излучения.

временем в диапазоне изменения  $6 \leq pt \leq 21$  с точностью не меньше

нородности. Влияние нелинейности при этом проявляется слабее, чем в случае геометрической оптики, когда на флюктуациях интенсивности более существенно сказываются мелкомасштабные неоднородности. Минимум дисперсии флюктуаций логарифма амплитуды  $\sigma_{min}^2(pt)$  в том случае, когда существенна дифракция, составляет приблизительно 0,63  $\sigma^2(0)$ , в то время как в геометрической оптике [1]  $\sigma_{min}^2(t)/\sigma^2(0) = 0,4$ .

С увеличением нелинейности, характеризуемой параметром  $pt$ , все более заметным становится влияние на дисперсию и структурную функцию флюктуаций  $\chi$  усиление мелкомасштабной части спектра. Оно приводит к увеличению величины  $\sigma^2$  и к уменьшению радиуса корреляции флюктуаций интенсивности  $\rho_{cor}$ . Если, например, определить  $\rho_{cor}$  по половинному уровню структурной функции  $D_1(\rho_{cor}) = (1/2)D_1(\infty)$ , то изменение  $\rho_{cor}$  со

10% описывается формулой

$$\rho_{\text{кор}}(pt) = \rho_{\text{кор}}(0) (1 + pt/8)^{-1}. \quad (34)$$

Структурная функция  $D(\rho) = D_x(\rho) + D_\phi(\rho)$  при аргументах  $\rho \leq \sqrt{L/2k}$  увеличивается со временем. Уменьшение этой функции заметно лишь при величинах разноса точек наблюдения  $\rho$ , больших радиуса зоны Френеля  $\sqrt{L/2k}$ . Однако и в этом случае уменьшение функции  $D(\rho)$  и, соответственно, увеличение радиуса когерентности, как это видно из рис. 8, мало, составляет не более 10%.

**Выводы.** Флуктуации показателя преломления, инициируемые тепловым воздействием излучения на среду, приводят к изменению спектров флуктуаций уровня и фазы световой волны, вызываемых турбулентностью атмосферы. Крупномасштабная часть спектров ослабляется, мелкомасштабная усиливается, причем с увеличением энергии в пучке интервал пространственных частот, в котором флуктуации ослабляются, сужается. Соответственно изменяются и структурные функции флуктуаций. Для значений аргументов  $\rho$  этих функций, меньших радиуса первой зоны Френеля  $\sqrt{L/2k}$ , тепловая нелинейность приводит к увеличению структурных функций  $D_{\phi,x}$  с увеличением энергии излучения. При  $\rho \gg \sqrt{L/2k}$  зависимости  $D_{\phi,x}$  от энергии немонотонны, вначале флуктуации ослабляются, затем усиливаются. Эффекты уменьшения дисперсии флуктуаций уровня и улучшения когерентности на протяженных трассах проявляются слабее, чем на коротких трассах. Область применимости геометрооптической асимптотики для расчетов флуктуаций излучения не зависит от величины нелинейности и определяется условием  $k^2z/2k \leq \pi/4$ . Выход на дифракционную асимптотику с увеличением нелинейности замедляется.

#### ЛИТЕРАТУРА

1. Агронский Б. С., Воробьев В. В., Гурвич А. С. и др. // Квантовая электроника. 1980. Т. 7. № 3. С. 545.
2. Гочелашивили К. С., Чашей И. В., Шишов В. И. // Квантовая электроника. 1980. Т. 7. № 10. С. 2077.
3. Кандидов В. П., Леденев В. И. // Квантовая электроника. 1981. Т. 8. № 4. С. 873.
4. Бабиченко С. Н., Кандидов В. П., Мякинин В. А., Шленов С. А. // Квантовая электроника. 1986. Т. 13. № 11. С. 2183.
5. Воробьев В. В., Мякинин В. А., Степашкин В. Н., Тихонова Н. С. // Изв. вузов. Радиофизика. 1987. Т. 30. № 1. С. 58.
6. Воробьев В. В. Тепловое самовоздействие лазерного излучения в атмосфере. Теория и модельный эксперимент. — М.: Наука, 1987. — 200 с.
7. Рытов С. М., Кравцов Ю. А., Татарский В. И. Введение в статистическую радиофизику. — М.: Наука, 1978. Т. 2. — 464 с.
8. Корн Г., Корн Т. Справочник по математике. — М.: Наука, 1974. — 832 с.

Институт физики атмосферы  
АН СССР

Поступила в редакцию  
1 февраля 1988 г.

#### FLUCTUATION OF PULSED LASER RADIATION UNDER THERMAL SELF-ACTION IN TURBULENT ATMOSPHERE

V. V. Vorob'ev, T. G. Krasil'nikova, N. S. Tikhonova

The spectrum and structure function of log-amplitude and phase fluctuations of the laser radiation under thermal blooming are calculated on the base of smooth perturbation method. Dynamics of spectra is studied in a wide interval of fluctuation spatial size. The applicability ranges of geometric-optical and diffraction asymptotics for calculation of fluctuations are investigated